

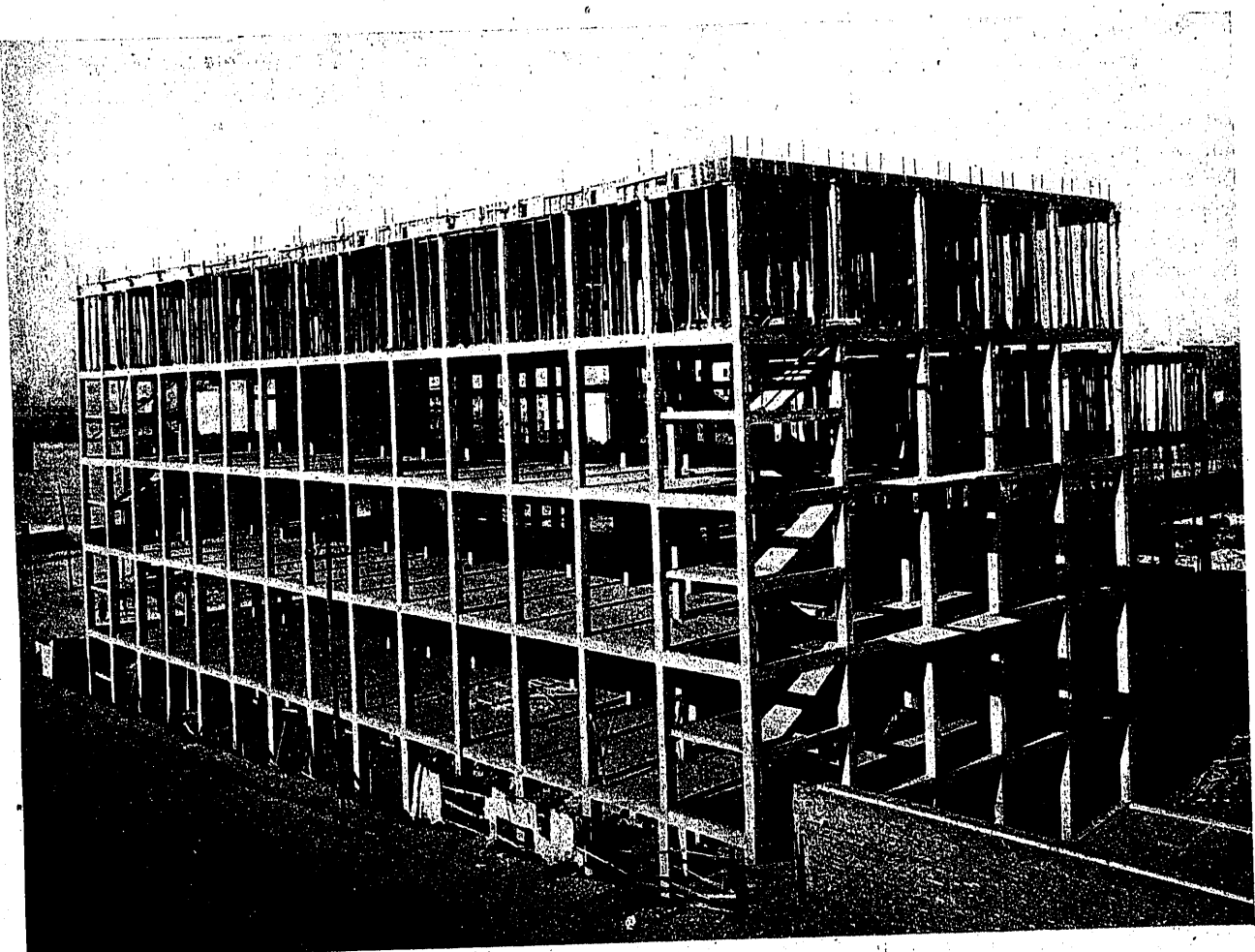
UN EDIFICIO Y UN METODO DE CALCULO

Por MIGUEL GARCIA ORTEGA y ANGEL DEL CAMPO, Ingenieros de Caminos.

Resulta oportuno —ahora que el Consejo Superior de Investigaciones Científicas ha puesto a la venta el Cálculo de Estructuras reticulares, de García Ortega— glosar brevemente el método de cálculo que en él se desarrolla y que obtuvo el premio “Francisco Franco 1945”, ilustrándole con el ejemplo de las últimas estructuras, ya construidas, en que le hemos aplicado. Quizá, por ello, el presente artículo pueda considerarse, por una parte, como una página más de la Intro-

ducción de dicho libro, y por otra, como nuevo ejemplo —el núm. 7— a añadir a los que, al final de la obra, la completan.

Pero, de una u otra forma, para el lector que no conozca el texto, sirvan estas páginas como referencia de un nuevo método de cálculo de estructuras y de su aplicación a un importante edificio, proyecto del Arquitecto D. Fernando Moreno Barberá y construido por “Corsan, S. A.”.



No se trata de una teoría nueva sobre el problema clásico de las estructuras. Se admiten las hipótesis clásicas sobre deformación y transmisión de momentos que sirven de base para la determinación de los esfuerzos producidos por la barra aislada, en función de los movimientos — giros y traslaciones — de sus extremos, pero el procedimiento que se emplea para el cálculo de la estructura es completamente distinto de los seguidos hasta ahora.

Referida la estructura previamente a dos ejes rectangulares, se comienza por plantear sus ecuaciones de equilibrio, teniendo en cuenta los momentos y los esfuerzos producidos en cada nudo por las barras concurrentes.

En dichas ecuaciones intervienen las características de todas las barras y las reacciones de empotramiento perfecto de todos los nudos. Ello obliga a emplear una notación especial, mediante la cual se distingue fácilmente a qué barra o nudo corresponde cada elemento. De no ser así, al intervenir en las ecuaciones, como decimos, las características de todas las barras y nudos, la confusión sería tan grande que haría imposible, o por lo menos muy difícil, el planteamiento del problema.

Refiriéndonos solamente al método abreviado (1), el sistema formado por las ecuaciones de equilibrio se transforma en otro equivalente, en el que se conservan las que expresan que los momentos resultantes que actúan en cada nudo son nulos — ecuaciones que proporcionan los valores de los giros —, mientras que las que expresan la anulación de las componentes de los esfuerzos, según los ejes de las X y de las Y , se

$$\begin{aligned} p_a &= p_a M_{ea} + p_a c_{a-1} (p_{a-1} M_{ea-1} + p_{a-1} c_{a-2} (p_{a-2} M_{ea-2} + p_{a-2} c_{a-3} (\dots \\ &\dots + p_a c_a \{ p_{a+1} M_{ea+1} + p_{a+1} c_a (p_a M_{ea} + p_a c_{a-1} (p_{a-1} M_{ea-1} + p_{a-1} c_{a-2} (p_{a-2} M_{ea-3} \dots \\ &\dots + p_{a+1} c_{a+1} \} p_{a+2} M_{ea+2} + p_{a+2} c_{a+1} (p_{a+1} M_{ea+1} + p_{a+1} c_a (p_a M_{ea} + p_a c_{a-1} (\dots \\ &\dots + p_{a+2} c_{a+2} [p_{a+3} M_{ea+3} + p_{a+3} c_{a+2} (p_{a+2} M_{ea+2} + p_{a+2} c_{a+1} (p_{a+1} M_{ea+1} + p_{a+1} c_a (\dots] \} \} \end{aligned}$$

Donde las p tienen expresiones de la forma:

$$p_a = \frac{1}{K_a - c^2_{a-1}} \frac{1}{K_{a-1} - c^2_{a-2}} \frac{1}{K_{a-2} - c^2_{a-3}} \frac{1}{K_{a-3} - c^2_{a-4}}$$

(1) Se exponen en el libro dos métodos: el riguroso y el abreviado.

(2) E es una función lineal de las componentes X e Y de los esfuerzos producidos en los nudos por la deformación, y E la misma función de las reacciones de empotramiento perfecto.

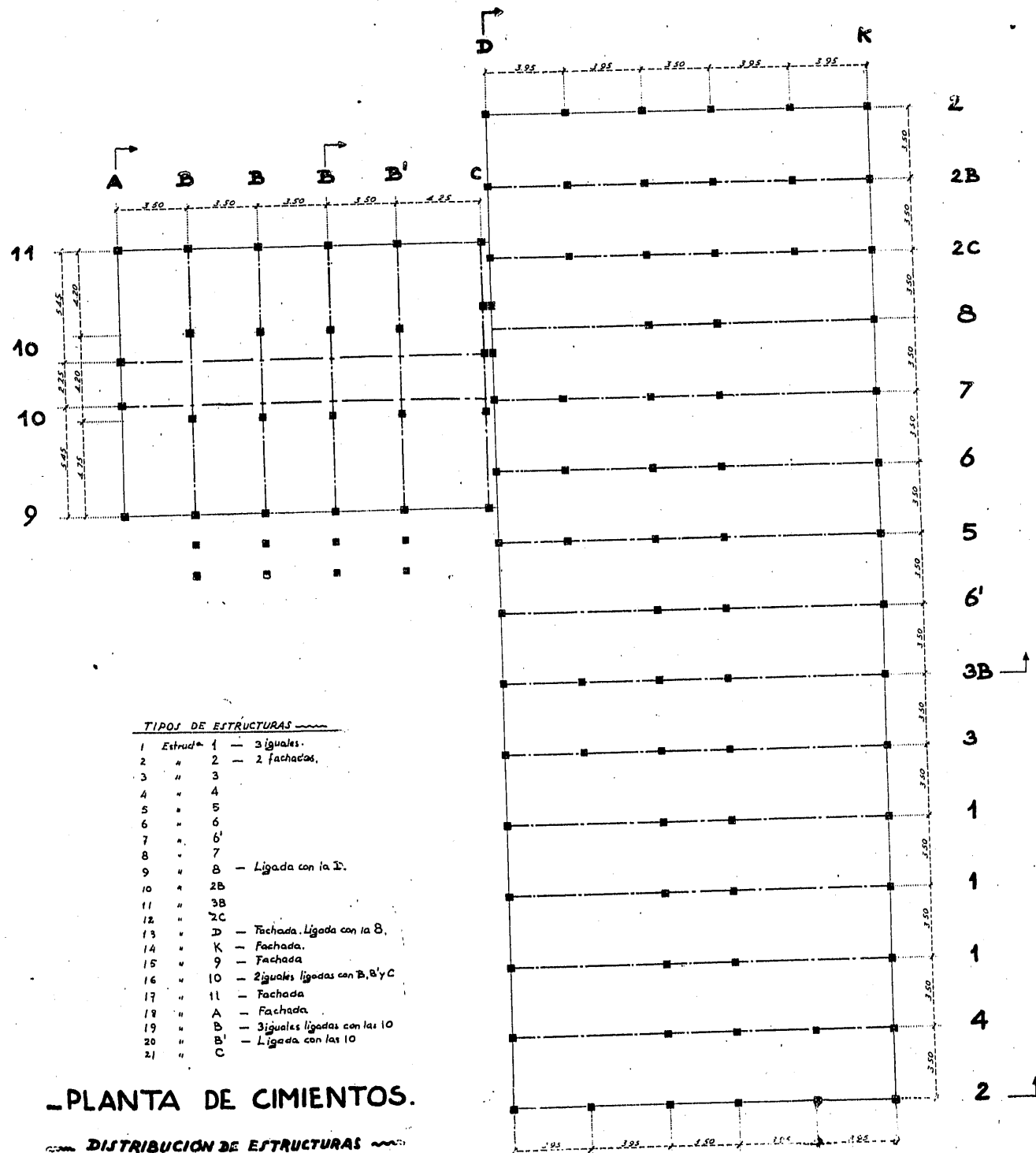
convierten, mediante sencillas transformaciones lineales, en las

$$H + E = 0 \quad (2)$$

que sirven para obtener las compresiones de todas las barras y un cierto número de traslaciones denominadas principales; las restantes se obtienen mediante nuevas ecuaciones que se plantean expresando las relaciones que existen entre las componentes de las traslaciones como consecuencia de las posiciones relativas de los elementos de la estructura; es decir, de su forma.

Se plantea, pues, el problema de un modo general. El sistema inicial se transforma en otro más asequible, que proporciona, mediante los cuadros de que hablaremos, las compresiones de todas las barras y la deformación completa de la estructura — giros y traslaciones —, conocida la cual se determinan inmediatamente las leyes de momentos flectores y esfuerzos cortantes, que acaban de resolver totalmente el problema en todos los casos.

Aunque el sistema formado por las ecuaciones de equilibrio se transforma en otro más asequible, resulta éste, todavía, de resolución laboriosa. Para facilitarla, se recurre al empleo de cuadros, en que con gran claridad se indican por doble entrada las operaciones algebraicas que con los datos iniciales se realizan, al ir llenando las casillas correspondientes, hasta obtener el valor de las incógnitas. Constituyen, pues, estos cuadros un proceso ordenado de *sustituciones sucesivas* aplicado a un sistema de ecuaciones de características especiales. En el caso sencillo de la viga de varios tramos, por ejemplo, la fórmula que da el valor del giro en el nudo a es:

Figura 1.^a

Ambas expresiones no son de aplicación práctica.

- Pero su carácter de *especial recurrencia* las hace fácilmente manejables en forma de cuadros. Son los expuestos con los números 21 y 22 ó 23, en el libro a que nos venimos refiriendo.

Los cuadros desarrollan las fórmulas correspondientes en filas horizontales y en columnas dispuestas convenientemente, por lo que podemos decir que constituyen *fórmulas algébricas de dos dimensiones*.

Cada tipo de estructura tiene sus cuadros-fórmula característicos: así, la viga de varios tramos y el pórtico, con cuadros análogos (el cálculo de éste se reduce al de aquéllo); la estructura de edificio; la viga Vie-rendel; las trianguladas, etc.

El desarrollo de los cuadros y su manejo es fácil. Con ellos pueden resolverse los problemas derivados de un caso determinado de carga, o el general, es decir, en función de las reacciones de empotramiento perfecto; cuando se hace así, para resolver después cada caso particular de carga, basta sustituir los valores generales de las reacciones por los correspondientes al caso considerado. Pero, por ser de mayor brevedad, generalmente es preferible resolver el problema directamente para cada caso particular de carga.

Pudiera esto, dicho en esa forma, parecer, en cierto modo, paradójico, pero es que, realmente, así ocurre al no tener que repetir para cada caso todo el proceso de cálculo. Efectivamente —ya lo señalaremos en el ejemplo—, la mayor parte de los cálculos que es preciso desarrollar para una hipótesis de carga es utilizable para cualquier otra. Baste decir que en el cuadro-fórmula cada hipótesis de carga supone una columna del mismo y las restantes forman un *invariante* de la estructura.

La importancia que estos *invariantes* tienen para el estudio completo de una estructura, no sólo se desprende de lo que queda dicho, sino que a ello debe

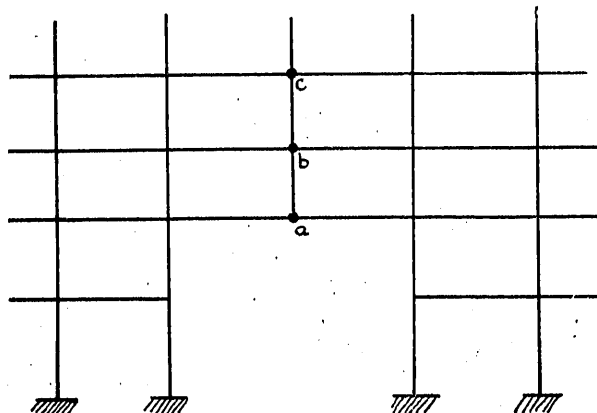


Figura 2.^a

añadirse que su utilización alcanza hasta los casos en que sea preciso considerar movimientos anormales en las sustentaciones y acortamientos en las barras. Todo ello queda reducido a proceder como si se tratase de nuevas hipótesis de carga.

Cuando la estructura es simétrica, se simplifican mucho los cálculos empleando cargas simétricas y antisimétricas, pudiéndose hacer uso de esta simplificación en todas las estructuras que gocen de simetría, aunque no estén simétricamente sustentadas.

Las operaciones se comprueban fácilmente a medida que se van efectuando, pudiéndose al final comprobar totalmente los resultados definitivos obtenidos.

En el edificio a que nos referimos al comenzar este artículo, se han calculado veintiuna estructuras diferentes. En la planta de cimiento que se ha esquematizado en la figura 1.^a, aparecen señaladas con la nomenclatura que las distingue.

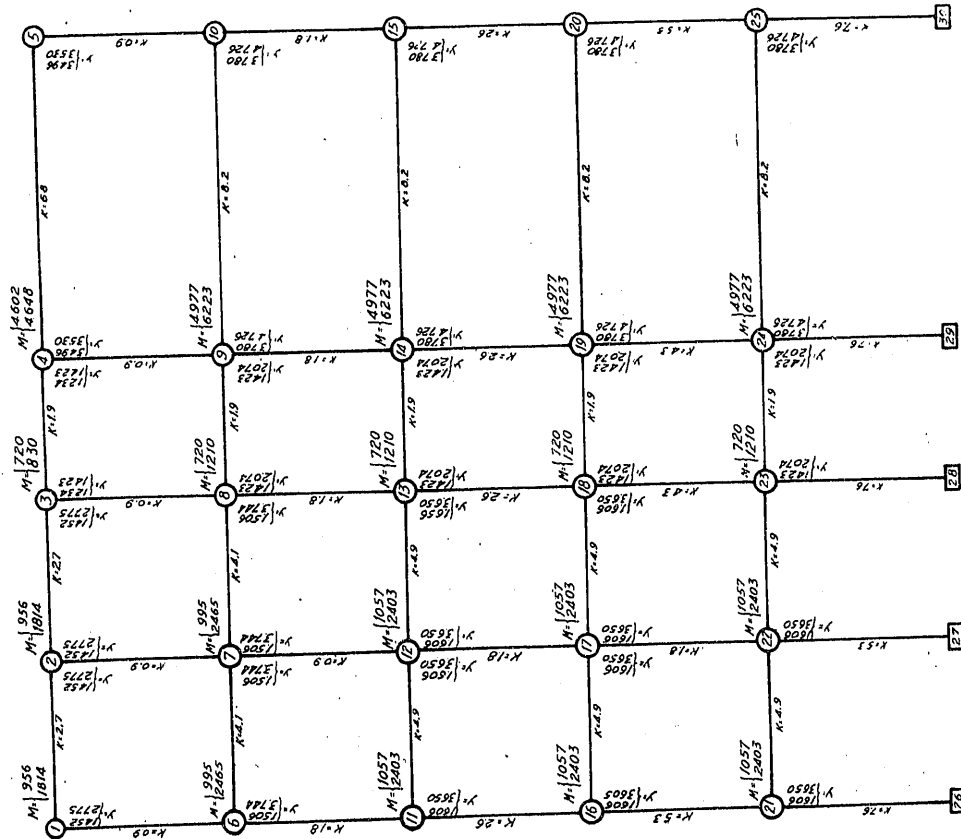
Para todas se ha prescindido de traslaciones horizontales de los nudos, por ser despreciables; no así de las verticales, por no estar algunos nudos sustentados por pilares. Es el caso de los nudos *a*, *b*, *c*, ..., de la figura 2.^a que se presenta en las estructuras 8, 9, 10, *B*, *C* y *D*.

Hemos elegido la estructura 3 *B* para que sirva de ejemplo al cálculo de los giros. Como no tiene ninguna particularidad especial, puede considerarse como un caso general de estructura, y por ello resulta su cálculo adecuado para tomarlo como ejemplo numérico.

En la figura 3.^a —unido al esquema de la estructura— aparecen en un cuadro las características de todas las barras con la denominación derivada de la numeración correlativa de los nudos. Se anotan también los momentos y reacciones de empotramiento perfecto de los dinteles, para peso propio y para sobrecarga separadamente.

Todos estos datos constituyen los elementos de partida para la utilización del cuadro-fórmula. Aunque descompuesto en tres parciales, para su más clara reproducción, a continuación se acompaña éste por partida doble.

El primer ejemplar (parciales 1.^a, 2.^a y 3.^a) contiene en las veinticinco columnas de su *invariante* absolutamente todos los coeficientes que el proceso teórico de cálculo precisa. Son, como si dijéramos, los que habría de escribir el no familiarizado con el método. Pero precisamente su observación muestra la ordenada repetición de muchos de ellos y la anulación de otros al ir desapareciendo la influencia de los giros de un nudo en los suficientemente alejados. Por eso nos ha parecido elocuente acompañar un segundo

Figura 3.^a

ESTRUCTURA 38		RECORTES	LUGES	KG. CANT.	KG. CANT.
	BARRA S.	MACHO	ALTO CM.	VALORES REALES $\frac{F_{\text{real}}}{F_{\text{nominal}}}$	VALORES ESTIMADOS $\frac{F_{\text{estimado}}}{F_{\text{nominal}}}$
5	DINTELES: $\frac{1}{2} - \frac{2}{12} - \frac{1}{2} - \frac{1}{10}$	2.5	35	395	2714 $\frac{6}{5} \cdot 10^3$
		3/16	30	350	1929 *
		1/2	60	790	6835 *
	PILARES:	2.5	25	450	868 *
4	DINTELES: $\frac{1}{2} - \frac{2}{12} - \frac{1}{2} - \frac{1}{10}$	2.5	40	395	4051 *
		9/16	30	350	1929 *
		1/2	60	790	8203 *
	PILARES: $\frac{1}{16} - \frac{1}{12} - \frac{1}{16} - \frac{1}{12}$	3/16	30	450	1800 *
3	DINTELES: $\frac{1}{16} - \frac{1}{12}$	2.5	25	450	868 *
		13/16	30	40	395
		1/2	60	350	1929 *
	PILARES: $\frac{1}{16} - \frac{1}{12} - \frac{1}{16} - \frac{1}{12}$	3/16	30	34	450
2	DINTELES: $\frac{1}{16} - \frac{1}{12}$	3/16	30	40	395
		19/16	25	30	350
		1/2	60	790	8203 *
	PILARES:	15/16 - 20/16	30	43	450
1	DINTELES: $\frac{1}{16} - \frac{1}{12} - \frac{1}{12}$	19/16 - 19/16	30	40	450
		23/16	25	40	395
		23/16	30	60	350
	PILARES:	23/16 - 24/16 - 23/16	30	43	450

ESTRUCTURA 3B - CUADRO FÓRMULA N° 1 - (Parcial 1º)

3B	I	II	III	θ1	θ2	θ3	θ4	θ5	θ6	θ7	θ8	θ9	θ10	θ11	θ12	θ13	θ14	θ15	θ16
Mes. M4(0278)	12.770	+0.956	-27.70	5.6	1.350				0.450										
θ1 =	-0.770	-0.266	-0.770		-0.375				-0.125										
Mes. M4z =	-1.814	+0.814	0.000	1.350	6.300	1.350				0.450									
1.35θ1 =	-1.040	-0.359	-1.040		-0.505				-0.169										
SUMA(-0.172)	-2.854	+1.455	-1.040			+1.350			-0.169	+0.450									
θ2 =	-0.492	-0.251	+0.179			-0.232			+0.029	-0.077									
Mes. M4z =	-0.594	2.050	-1.220		1.350	5.500	0.950			0.450									
1.35θ2 =	-0.669	-0.389	+0.242			-0.313			+0.039	-0.104									
SUMA(-0.193)	+1.257	-2.989	-0.978				+0.950		+0.039	-0.104	0.450								
θ3 =	-0.242	+0.461	+0.189				-0.183		-0.007	+0.020	-0.087								
Mes. M4z =	-0.952	+0.530	+7.700			0.950	9.600	3.400			0.450								
θ3θ3 =	-0.230	+0.437	+0.180				-0.174		-0.006	+0.019	-0.082								
SUMA(-0.106)	+2.822	+0.967	+7.880					3.400	-0.006	+0.019	-0.082	+0.450							
θ4 =	-0.299	-0.950	-0.835					-0.360	-0.000	-0.002	+0.008	-0.047							
Mes. M4z =	-4.602	-9.250	-9.250			3.400	7.700				0.450								
3.4 θ4 =	-1.018	-3.230	-2.840				-1.224	+0.000	-0.006	+0.027	-0.160								
SUMA(0.154)	-5.620	-12.480	-12.090						+0.000	-0.006	+0.027	-0.160	+0.450						
θ5 =	-0.868	+1.930	+1.870						-0.000	+0.000	-0.004	+0.024	-0.069						
Mes. M4z =	-3.460	+0.995	-3.460	0.450					6.800	2.050				0.900					
θ45 θ1 =	-0.346	-0.120	-0.346		-0.168				-0.056										
-0.168 θ2 =	-0.082	+0.042	-0.030			+0.039			-0.004	+0.012									
+0.059 θ3 =	-0.009	+0.018	-0.007				-0.007		-0.000	+0.000	-0.003								
-0.002 θ4 =	+0.002	+0.006	+0.005					+0.002	-0.000	+0.000	+0.000	-0.000							
+0.002 θ5 =	+0.001	+0.003	+0.003						-0.000	-0.000	-0.000	+0.000	-0.000						
SUMA(-0.148)	+9.026	+0.944	-3.059							+2.062	+0.008	+0.000	-0.000	-0.900					
θ6 =	-0.450	-0.140	-0.160							-0.306	+0.000	-0.000	+0.000	-0.133					
Mes. M4z =	-2.465	+2.465	0.000	0.450					2.050	10.000	2.050			0.450					
0.45 θ2 =	-0.221	-0.113	-0.080		-0.104				+0.013	-0.034									
-0.104 θ3 =	+0.025	-0.048	-0.019			+0.019			-0.000	-0.002	+0.009								
0.019 θ4 =	-0.005	-0.018	-0.015				-0.006		-0.000	-0.000	+0.000	-0.000							
-0.016 θ5 =	-0.005	-0.011	-0.011						-0.000	-0.000	+0.000	-0.000	+0.000						
2.063 θ6 =	-0.930	-0.289	-0.950							-0.632	-0.000	-0.000	-0.000	-0.274					
SUMA(0.107)	-3.154	+1.986	-0.915								+2.059	-0.000	+0.000	-0.274	+0.450				
θ7 =	+0.337	-0.212	+0.098								-0.220	-0.000	-0.000	+0.029	-0.048				
Mes. M4z =	+0.935	-2.740	-1.530	0.450					2.050	8.700	0.950			0.900					
θ45 θ3 =	-0.109	+0.208	+0.085		-0.082				-0.003	+0.009	-0.039								
-0.082 θ4 =	+0.024	+0.078	-0.068			+0.029			-0.000	-0.000	-0.000	+0.003							
0.029 θ5 =	+0.025	+0.056	+0.054						-0.000	-0.000	-0.000	-0.002							
-0.003 θ6 =	+0.001	+0.000	+0.001						-0.000	-0.000	-0.000	-0.000							
2.059 θ7 =	+0.694	-0.436	+0.202							-0.452	-0.000	-0.000	+0.059	-0.099					
SUMA(0.122)	-1.570	-2.884	-1.122								+0.353	-0.002	+0.059	-0.099	0.900				
θ8 =	-0.191	+0.946	+0.137								-0.016	-0.000	-0.007	+0.012	-0.110				
Mes. M4z =	+0.047	-0.480	-0.270	0.450					0.950	12.800	4.100			0.900					
0.45 θ4 =	-0.184	-0.129	-0.376			-0.162			-0.000	-0.000	+0.003	-0.021							
-0.162 θ5 =	-0.140	-0.312	-0.302				-0.000		-0.000	-0.000	+0.003	+0.011							
0.000 θ6 =	0.000	0.000	0.000				-0.000		-0.000	-0.000	+0.000	-0.000							
0.000 θ7 =	0.000	0.000	0.000						-0.000	-0.000	-0.000	-0.000							
+0.953 θ8 =	-0.182	+0.330	-0.131							-0.110	+0.000	-0.006	+0.011	-0.105					
SUMA(0.079)	+2.591	-0.070	-0.723									+4.111	-0.006	+0.011	-0.105	+0.900			
θ9 =	-0.205	-0.795	-0.690									-0.324	-0.000	-0.000	+0.008	-0.071			
Mes. M4z =	-4.977	-11.200	-11.200	0.450						4.100	10.900				0.900				
0.45 θ5 =	+0.390	+0.870	+0.840						-0.000	+0.000	-0.001	+0.010	-0.031						
0.000 θ6 =	0.000	0.000	0.000							+0.000	-0.000	+0.000	-0.000						
0.000 θ7 =	0.000	0.000	0.000							-0.000	+0.000	-0.000	+0.000						
-0.000 θ8 =	+0.000	-0.000	-0.000								+0.000	-0.000	-0.000	-0.000					
4.810 θ9 =	-0.843	-3.260	-2.888									-1.330	-0.000	-0.000	+0.032	-0.298			
SUMA(0.085)	-5.430	-14.590	-13.198										-0.000	-0.000	+0.032	-0.298	0.900		
θ10 =	+0.570	+1.424	+1.982										-0.000	-0.000	-0.000	-0.000	-0.000		
Mes. M4z =	+0.460	+0.057	+0.460									0.900			0.900	2.450			1.90

ESTRUCTURA 3B. CUADRO FORMULA N° 1 (Parcial 2º)

ESTRUCTURA 3B. CUADRO FORMULA N° 1 (Parcial 3º)

ESTRUCTURA 3B. CUADRO FÓRMULA N° 1 (Parcial 1º)

(B1S)

ESTRUCTURA 3B. CUADRO FÓRMULA N° 1 (Parcial 2º)

(E/S)

ESTRUCTURA 3B. CUADRO FORMULA N° 1 (Parcial 3º) (B/S)

3-B	I	II	III		I	II	III		I	II	III
θ'25 =	+0.230	+0.545	+0.536	θ'14	-0.179	-0.069	-0.581	θ'5	+0.868	+1.930	+1.870
θ'24 =	-0.114	-0.415	-0.362	-0.288 θ'15	-0.121	-0.292	-0.286	-0.008 θ'8	+0.000	-0.001	-0.001
-0.193 θ'25	-0.044	-0.105	-0.103	-0.001 θ'17	0.000	0.000	0.000	+0.024 θ'9	-0.008	-0.027	-0.025
θ'24 =	-0.158	-0.520	-0.465	+0.008 θ'18	0.000	+0.002	+0.001	-0.069 θ'10	-0.036	-0.090	-0.087
θ'23 =	-0.061	+0.139	+0.065	-0.09 θ'19	+0.018	+0.060	+0.053	θ'5	+0.824	+1.812	+1.757
-0.054 θ'24	+0.008	+0.028	+0.025	θ'14	-0.282	-0.900	-0.813	θ'4	-0.299	-0.950	-0.835
+0.000 θ'25	0.000	0.000	0.000	θ'3	-0.130	+0.256	+0.106	-0.36 θ'5	-0.296	-0.652	-0.632
θ'23 =	-0.053	+0.167	+0.090	-0.091 θ'14	+0.025	+0.082	+0.074	-0.002 θ'7	-0.000	+0.000	-0.000
θ'22 =	+0.157	-0.127	+0.023	-0.006 θ'16	+0.001	+0.000	+0.001	+0.008 θ'8	-0.001	+0.003	+0.002
-0.15 θ'23	+0.008	-0.025	-0.013	+0.017 θ'17	+0.003	-0.003	+0.000	-0.047 θ'9	+0.016	+0.054	+0.049
0.000 θ'24	0.000	0.000	0.000	-0.123 θ'18	+0.009	-0.027	-0.014	θ'4	-0.580	-1.545	-1.416
0.000 θ'25	0.000	0.000	0.000	θ'3	-0.092	+0.308	+0.167	θ'3	-0.242	+0.461	+0.189
θ'22 =	+0.165	-0.152	+0.010	θ'2	+0.256	-0.168	+0.067	-0.183 θ'4	+0.106	+0.283	+0.259
θ'21 =	-0.158	-0.055	-0.163	-0.208 θ'13	+0.019	-0.064	-0.034	-0.007 θ'6	+0.003	+0.000	+0.003
-0.144 θ'22	-0.023	+0.022	-0.001	+0.029 θ'16	-0.007	-0.001	-0.006	+0.02 θ'7	+0.007	-0.006	+0.000
θ'21 =	-0.181	-0.033	-0.164	-0.076 θ'17	-0.016	+0.014	-0.001	-0.087 θ'8	+0.011	-0.038	-0.021
θ'20 =	+0.336	+0.808	+0.790	θ'12	+0.252	-0.219	+0.026	θ'3	-0.115	+0.700	+0.430
-0.002 θ'23	+0.000	-0.000	-0.000	θ'11	-0.322	-0.110	-0.330	θ'2	+0.492	-0.251	+0.179
+0.035 θ'24	-0.005	-0.018	-0.016	-0.269 θ'12	-0.068	+0.059	-0.007	-0.232 θ'3	+0.026	-0.162	-0.100
-0.177 θ'25	-0.040	-0.096	-0.095	-0.142 θ'16	+0.033	+0.005	+0.029	+0.029 θ'6	-0.014	-0.001	-0.012
θ'20 =	+0.291	+0.694	+0.679	θ'11	-0.357	-0.046	-0.308	-0.077 θ'7	-0.026	+0.023	-0.002
θ'19 =	-0.152	-0.559	-0.487	θ'10	+0.570	+1.424	+1.382	θ'2	+0.478	-0.391	+0.065
-0.246 θ'20	-0.071	-0.171	-0.167	-0.003 θ'13	+0.000	-0.001	-0.000	θ'1	-0.770	-0.266	-0.770
+0.009 θ'23	-0.000	+0.001	+0.000	+0.003 θ'14	-0.008	-0.027	-0.024	-0.375 θ'2	-0.179	+0.146	-0.024
-0.128 θ'24	+0.020	+0.066	+0.059	-0.094 θ'15	-0.039	-0.095	-0.093	-0.125 θ'6	+0.063	+0.005	+0.053
θ'19 =	-0.203	-0.663	-0.595	θ'10	+0.523	+1.301	+1.265	θ'1	-0.886	-0.115	-0.741
θ'18 =	-0.097	+0.205	+0.090	θ'9	-0.205	-0.795	-0.690				
-0.073 θ'19	0.014	+0.048	+0.043	-0.324 θ'10	-0.170	-0.422	-0.410				
-0.007 θ'21	+0.001	+0.000	+0.001	+0.008 θ'13	-0.000	+0.002	+0.001				
+0.013 θ'22	+0.002	-0.001	+0.000	-0.071 θ'14	+0.020	+0.064	+0.058				
-0.165 θ'23	+0.008	-0.027	-0.014	θ'9	-0.355	-1.151	-1.041				
θ'18 =	-0.072	+0.225	+0.120	θ'8	-0.191	+0.346	+0.137				
θ'17 =	+0.213	-0.156	+0.044	-0.116 θ'9	+0.041	+0.134	+0.121				
-0.193 θ'18	+0.014	-0.043	-0.023	-0.07 θ'11	+0.002	+0.000	+0.002				
+0.040 θ'21	-0.007	-0.001	-0.006	+0.012 θ'12	+0.003	-0.002	+0.000				
-0.07 θ'22	-0.011	+0.010	-0.000	-0.11 θ'13	+0.010	-0.034	-0.018				
θ'17 =	+0.209	-0.190	+0.015	θ'8	-0.135	+0.244	+0.242				
θ'16 =	-0.234	-0.079	-0.240	θ'7	+0.337	-0.212	+0.098				
-0.196 θ'17	-0.041	+0.037	-0.003	-0.22 θ'8	+0.030	-0.098	-0.053				
-0.21 θ'21	+0.038	+0.007	+0.034	+0.029 θ'11	-0.010	-0.001	-0.009				
θ'16 =	-0.237	-0.035	-0.209	-0.048 θ'12	-0.012	+0.010	-0.001				
θ'15 =	+0.460	+1.120	+1.091	θ'7	+0.345	-0.301	+0.035				
-0.002 θ'18	+0.000	-0.000	-0.000	θ'6	-0.450	-0.140	-0.460				
+0.032 θ'19	-0.006	-0.021	-0.019	-0.306 θ'7	-0.106	+0.092	-0.010				
-0.115 θ'20	-0.033	-0.080	-0.078	-0.133 θ'11	+0.047	+0.006	+0.041				
θ'15 =	+0.421	+1.019	+0.994	θ'6	-0.509	-0.042	-0.429				

CUADRO AUXILIAR
 para efectuar
 sustituciones

OBTENCIÓN DE
 LOS GIROS θ_{25}
 AL θ_1 PARA LAS
 TRES HIPÓTESIS
 DE CARGA.

ejemplar del mismo cuadro-fórmula (parciales 1.^o bis, 2.^o bis, 3.^o bis) con los únicos coeficientes que, en la práctica, ha sido preciso calcular.

Se han considerado tres hipótesis de carga correspondientes a las columnas I, II y III, que figuran inmediatamente a la izquierda del *invariante*. Han consistido en suponer los tramos alternativamente cargados y descargados o todos ellos cargados.

Conviene también aclarar, aunque la primera columna — directriz del cálculo — lo indica, que previamente hemos ido obteniendo los coeficientes de las θ' . Utilizando el cuadro auxiliar para ir efectuando las sustituciones, se han deducido más cómodamente los valores definitivos de las θ (1). Los cálculos se han desarrollado siguiendo el cuadro-fórmula número 29 del libro, pero prescindiendo de las columnas correspondientes a las z , puesto que, como hemos dicho, las traslaciones son despreciables. Así, para la determinación de θ'_6 , por ejemplo, se ha partido de la ecuación de equilibrio

$$Md_o + Mb_o = K_o \theta_o + \Sigma c_i \theta_i + Mb_0 = 0,$$

(1) θ'_n indica el valor del giro θ_n en función de los de orden superior. En este caso, para el giro en el último nudo se tienen los valores +0,230, +0,545 y +0,536 en cada una de las hipótesis. Como $\theta'_{25} = \theta_{25}$, los valores anteriores son los que sirven para iniciar las sustituciones, por orden inverso hasta llegar a θ_1 .

o sea:

$$\left. \begin{array}{l} 3,460 \\ 0,995 \\ 3,460 \end{array} \right\} + 0,450 \theta_1 + 6,800 \theta_6 + 2,050 \theta_7 + 0,900 \theta_{11} = 0.$$

Después se han sustituido, sucesivamente, los valores de θ'_1 , θ'_2 , θ'_3 , θ'_4 y θ'_5 , ya hallados anteriormente, hasta llegar a la ecuación:

$$\left. \begin{array}{l} 3,026 \\ 0,944 \\ 3,099 \end{array} \right\} + 6,740 \theta_6 + 2,062 \theta_7 - 0,003 \theta_8 + 0,900 \theta_{11} = 0;$$

y, por último, multiplicando por $\frac{1}{6,740} = -0,148$, se ha despejado θ'_6 , obteniéndose el valor:

$$\left. \begin{array}{l} -0,450 \\ \theta'_6 = -0,170 \\ -0,460 \end{array} \right\} - 0,306 \theta_7 - 0,133 \theta_{11}.$$

La obtención de los *momentos elásticos*, una vez conocidos los giros, es inmediata aplicando la fórmula que da el *momento* en el extremo *a* de una barra *a b*:

$$M_{a/b} = Mb_{a/b} + k(\theta_a + \frac{1}{2} \theta_b).$$

(Continuará.)